

TiO₂ 纳米带光催化二氧化碳甲烷化

李锦丽^{1,2} 付 宁¹ 吕功煊^{*,1}

(¹ 中国科学院兰州化学物理研究所, 兰州 730000)

(² 兰州大学化学化工学院, 兰州 730000)

摘要: 研究了在常温常压下 TiO₂ 纳米带光催化 CO₂ 催化加氢反应。在紫外光照射下, 二氧化碳的加氢还原产物为甲烷。利用高分辨 TEM,XRD,UV-Vis DRS, 低温氮吸附-脱附,TG 等考察了催化剂与甲烷产率的构效关系。结果表明, 在 600 ℃焙烧时得到的双晶材料具有最佳的光催化活性。优异的光催化活性主要得益于 TiO₂ 双晶脱水纳米带(DNR Bicrystalline dehydrated nanoribbon)。上面形成的纳米晶界能够提高催化剂在紫外区的光吸收能力, TiO₂(B)和锐钛矿独特的双晶间隔结构也提高了界面电荷分离的效率。担载贵金属 Pt 显著地提高了反应速率。

关键词: CO₂ 加氢; 光催化; 甲烷化

中图分类号: O643.32 文献标识码: A 文章编号: 1001-4861(2010)12-2175-07

Photocatalytic Methanation of CO₂ over TiO₂ Nanoribbons

LI Jin-Li^{1,2} FU Ning¹ LÜ Gong-Xuan^{*,1}

(¹Lanzhou Institute of Chemical Physics, Chinese Academy of Sciences, Lanzhou 730000)

(²College of Chemistry and Chemical Engineering, Lanzhou University, Lanzhou 730000)

Abstract: The photocatalytic hydrogenation of CO₂ over TiO₂ bicrystalline dehydrated nanoribbons (DNR) was investigated at normal temperature and pressure. Under UV irradiation, generation of methane via CO₂ hydrogenation was observed. Quantitative structure-activity relationship (QSAR) of photocatalysts and methane production rate was correlated, based on results of high-resolution TEM,XRD, UV-Vis DRS, nitrogen adsorption-adsorption, thermal gravimetric (TG) studies. The results indicate that bicrystalline photocatalyst obtained at 600 °C exhibits the highest photoactivity. Excellent photocatalytic activity could be mainly attributed to the enhanced absorption in UV region by nano-cavities of DNR, and the unique alternative bicrystalline structure of TiO₂(B) and anatase in the samples, which could improve the efficiency of interfacial charge separation. Supporting of Pt significantly increases the reaction rate.

Key words: hydrogenation of CO₂; photocatalysis; methanation

CO₂ 的活化, 特别是在常温常压下的活化转化是科学界梦寐以求要实现的目标。在自然界中, 绿色植物在阳光的驱动下可以利用光合作用使 CO₂ 和水发生反应合成碳水化合物。然而, 人工模拟光

合作用还没有取得真正的成功, 主要原因是 CO₂ 的化学惰性, 要使它活化需要比较高的温度和适合的催化剂。近年来, CO₂ 加氢合成甲烷、甲醇、甲醛、甲酸等有机物成为人们重视的研究课题^[1-2]。

收稿日期: 2010-05-17。收修改稿日期: 2010-07-15。

国家自然科学基金 973,863(No.2007CB613305,2009CB220003,2009AA05Z117)和中国科学院“太阳能能源行动计划”(No.KGCX2-YW-390-1,KGCX2-YW-390-3)资助项目。

*通讯联系人。E-mail:gxl@lzb.ac.cn

第一作者: 李锦丽, 女, 23岁, 本科生; 研究方向: 光催化。

CO_2 的加氢甲烷化, 即 Sabatier^[3-4] 反应早已经有报道, 但是该反应需要比较高的温度, 这反映出二氧化碳的活化相当困难。利用光催化反应可以将二氧化碳与氢气进行反应, 得到甲烷^[5-8]。但到目前为止, 反应的速率还比较低, 主要的原因是光催化反应中光诱导产生的电荷利用效率低。近年来的研究发现以 TiO_2 与浓 NaOH 溶液在水热条件下反应生成的一维 TiO_2 材料具有优良的光生电荷利用效率^[9-11]。另一些研究组发现在焙烧这些一维 TiO_2 材料能够得到锐钛矿和 $\text{TiO}_2(\text{B})$ 的双晶产物^[12-14], 它们也具有良好的光催化效率。本工作用水热法制备了 TiO_2 纳米带(NR), 并用短时焙烧方法制备了锐钛矿/ $\text{TiO}_2(\text{B})$ 双晶脱水 TiO_2 纳米带(DNR)复合物, 这种材料表现出对二氧化碳甲烷化优异的反应性能, 其中在 600 °C 焙烧时得到的双晶材料具有最佳的光催化活性。

1 实验部分

1.1 催化剂的制备

将 0.75 g P25 加入到 45 mL 10 mol·L⁻¹ 的 NaOH 水溶液中, 超声 10 min, 然后转移到 60 mL 带有聚四氟乙烯内衬的高压釜中在 200 °C 反应 24 h。水热反应完毕后, 将下层沉淀物抽滤, 用蒸馏水反复洗涤至 pH=7, 然后在磁力搅拌下加入 1000 mL pH=1 的 HCl 水溶液, 搅拌 5 h, 然后过滤, 用蒸馏水洗至无 Cl⁻ 备用。将最后的产物放于烘箱中 60 °C 干燥过夜, 即得到钛酸纳米带(NR)。在紫外光照射下, 将适量的 Pt(0.5wt%) 担载于 NR 之上, 固体产物在不同温度下短时(30 min)焙烧得到 Pt/DNR。根据焙烧的温度, 把这些样品分别命名为“DNR-500”、“DNR-600”和“DNR-800”, 表明催化剂分别经 500、600 和 800 °C 焙烧处理。

1.2 催化剂表征

Pt/DNR 催化剂表面负载的 Pt 颗粒形态用 JEOL JEM-2010 型高分辨透射电镜(TEM)观察, 操作电压为 100 kV, 电镜样品由 Pt/DNR 催化剂在乙醇中超声分散 10 min 制得。催化剂的晶体结构由日本 Rigaku D/max-RB 型 X 射线衍射仪测定, 工作电压 50 kV, 工作电流 80 mA, 2θ 为 10°~80°, 在 Cu $K\alpha$ ($\lambda=0.154$ 18 nm) 辐射条件下闪烁计数器记录催化剂的 X 射线衍射强度)。催化剂的紫外-可见漫反射光谱(UV-Vis DRS)在 U-3010 型紫外-可见光谱仪上测定, 以 BaSO_4 作为参比。催化剂的比表面积和孔体积通过低温氮吸附-脱附(BET)方法, 在 ASAP

2010 仪上测定, 吸附气体为氮气, 操作温度为液氮 77 K。

1.3 光催化实验

光催化反应在一个体积约 140 mL 的侧面带有 10.2 cm² 平面窗口并配有隔绝空气的胶膜的石英瓶中进行。称取 300 mg 催化剂置于反应瓶中, 反应前用氩气置换 40 min 以除去瓶内空气, 加入反应混合气 CO_2 和 H_2 (12 mL CO_2 +48 mL H_2 , 体积比为 1:4)。为了使反应能够更好地进行, 反应前, 应尽量使催化剂均匀地分散在石英瓶内壁上。光源为 200 W 高压汞灯, 侧面照射。反应产物用 1 mL 的注射器通过硅橡胶密封膜取样 1 mL 手动注入气相色谱仪(GC112A), 检测器为 FID, 载气为氮气, 所用毛细管柱为大口径 HP-5 毛细管色谱柱, 规格为 30 m×0.53 mm×0.5 μm, 进样口温度为 220 °C, 分流进样, 分流比为 10:1, 载气流速为 4.5 mL·min⁻¹, 柱箱温度 120 °C, 检测器温度 240 °C。通过测量反应一定时间后产物的峰面积确定反应速率。

1.4 同位素示踪实验

称取 300 mg Pt(1.25%)/ TiO_2 催化剂和 200 mg 含有 ¹³C 碳酸钡($\text{Ba}^{(13)\text{CO}_3}_2$), MSD, Merck, 91.8%(atom%) ¹³C), 并把二者混合均匀, 置于石英瓶中, 用氩气置换 40 min 以除去瓶内空气, 加入 60 mL H_2 气, 紫外光照射下反应。反应产物用 1 mL 的注射器通过硅橡胶密封膜取样 0.2 mL 手动注入色质联用仪进行定性分析, (Agilent: GC-7890A; MS-5975C), 色谱仪载气为氩气, 所用毛细管柱为 HP-5 石英毛细管色谱柱, 规格为 30 m×0.25 mm×0.25 μm, 进样口温度为 220 °C, 分流进样, 分流比为 50:1, 载气流速为 1 mL·min⁻¹, 柱箱温度 120 °C, 检测器温度 240 °C。

2 结果与讨论

2.1 3 种不同催化剂的甲烷与氢气反应实验结果

1979 年, Honda 和合作者发现在半导体与水的悬浮体系中, 光催化还原二氧化碳可以得到甲酸、甲醛、甲醇和甲烷^[15], 而 Gratzel 等^[5]在研究二氧化碳和氢的气相反应时, 使用 Ru-RuO_x 共担载在 TiO_2 上的催化剂, 得到了甲烷。但是随后 Melsheimer 等^[17]的研究发现, 这些甲烷仅仅是热反应的产物, 与光反应无关。但 Adachi 等^[16]的后续研究发现在 Cu 担载的 TiO_2 上可以得到显著产量的烃, 包括甲烷, 乙烯和乙烷。其他的研究小组也得到了显著产量的甲烷^[6,8]。近年来, 越来越多的证据表明, 二氧化碳在光

照条件下,与氢气反应可以得到甲烷或者其它的烃类^[17-18],为避免热反应的影响,本文用夹套去除了光源的红外辐射,并在催化剂评价之前,进行了无光照的对照试验。结果表明,在无光照和无催化剂的条件下,二氧化碳与氢气不发生反应。只有在催化剂,二氧化碳与氢气混合物和光照条件同时满足时,才有甲烷产物生成。典型的结果如图 1 所示,除氢气外,气体产物中仅出现甲烷的色谱峰(二氧化碳在 FID 检测器不出峰)。3 种不同催化剂(DNR-500、DNR-600、DNR-800(c))得到的甲烷产率表现出显著差异。同位素标记实验表明,质量数为 17 的 $^{13}\text{CH}_4$ 的特征峰为含有同位素碳的甲烷,证明得到的气相甲烷中的碳元素来自于二氧化碳或者碳酸盐。

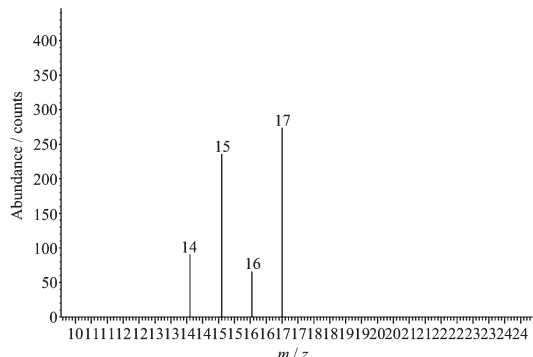


图 1 DNR-500 催化剂上同位素标记的色谱质谱结果
Fig.1 GC-MS results for methane isotope labeling sample over DNR-500 catalyst

图 2 给出了 3 种不同催化剂催化二氧化碳与氢气的实验结果。从结果可以看出,3 种催化剂均可得到明显量的甲烷。经过 500 °C 焙烧的 DNR-500 催化剂虽然初始活性比较低,但在反应考察的时间范围内相对保持稳定,在反应一段时间后,还略有增加。而在 600 和 800 °C 焙烧的样品则表现出较高

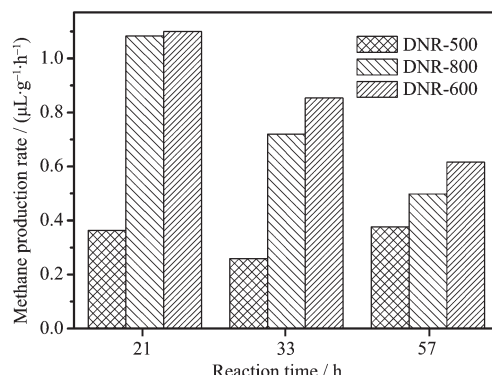


图 2 不同催化剂催化二氧化碳与氢气反应活性比较
Fig.2 Comparison of catalytic activities over different samples

的初始活性,但随着反应的延续,活性略有下降,且 800 °C 焙烧样品催化活性下降更快。

2.2 不同催化剂结构表征

3 种不同的催化剂典型的 XRD 结果如图 3 所示。

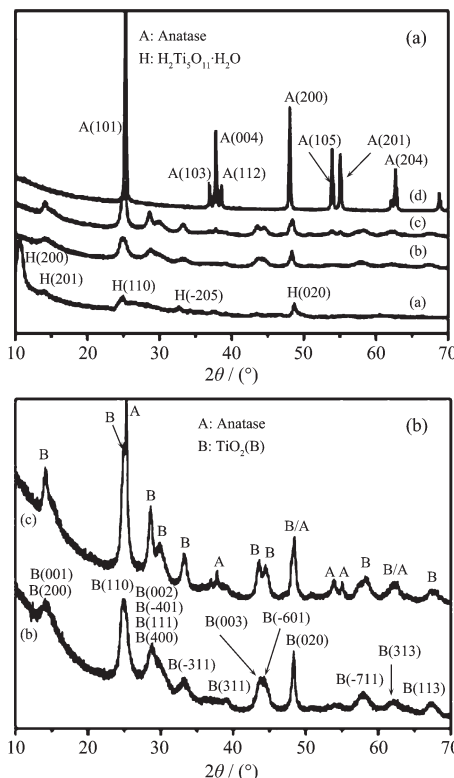


图 3 (a) NR (a) 及 DNR-500 (a), DNR-600 (b), DNR-800 (c) 的 DNR 的 XRD 图
Fig.3 (a) XRD patterns of the as-synthesized NR (a), DNR-500 (a), DNR-600(b), and DNR-800 (c)

XRD 结果表明,在 500 °C 焙烧的 DNR-500 样品中仅观察得到亚稳态 $\text{TiO}_2(\text{B})$ 的单晶结构的特征衍射峰;当焙烧温度为 600 °C 时,我们能够清楚地看到有新的衍射峰出现,即 $\text{TiO}_2(\text{B})$ /锐钛矿双晶结构的特征衍射峰;当焙烧温度进一步提高到 800 °C 时,此时只能观察到锐钛矿的单晶结构的特征衍射峰。对照催化剂活性结果说明, $\text{TiO}_2(\text{B})$ 和锐钛矿晶相达到共存时,催化剂便显示更好的催化活性。但是单独的锐钛矿晶相催化剂活性下降,且较两相共存催化剂活性下降的更快。

图 3a 中的衍射峰与文献所报道的物相一致^[19],主要归属为单斜晶系层状钛酸水合物 $\text{H}_2\text{Ti}_3\text{O}_{11} \cdot n\text{H}_2\text{O}$ (JCPDS 440131);晶胞常数与单斜晶胞的相接近 $a=2.000\ 5\ \text{nm}$, $b=0.376\ 3\ \text{nm}$, $c=1.499\ 8\ \text{nm}$, $\beta=124.01^\circ$ (例如, $d_{200}=0.829\ 0\ \text{nm}$, $d_{004}=0.311\ 1\ \text{nm}$ 和

$d_{020}=0.188\text{2 nm}$ ^[20]。在 $2\theta=10^\circ$ 的衍射峰可以归为层状钛酸化合物的(200)晶面特征衍射峰^[20]。当在 500°C 焙烧 30 min 后, 曲线(b)显示得到了亚稳态 TiO_2 (B)(PDF:46-1238, 单斜晶系, 空间群为 $C2/m$)。当焙烧温度进一步提高至 600°C , 按照 JCPDS 衍射数据和文献报道^[12-14,21], DNR-600 发生了另外一种晶相结构变化(PDF:84-1285, 四方结构, 空间群 $I4/m$)。此时 DNR-600 具有 TiO_2 (B)/锐钛矿双晶结构。当焙烧温度提高至 800°C , 则仅有锐钛矿晶型存在。

图 4 给出了 NR 的 TG/DTG/DSC 曲线, 氮气流速为 $50\text{ mL}\cdot\text{min}^{-1}$, 加热速率为 $10\text{ }^\circ\text{C}\cdot\text{min}^{-1}$, 其它条件与 DNR 的焙烧升温速率一致。在 TG 曲线中, 在 400°C 以下主要有不断失重的现象发生。TG/DTG 曲线按照 DTG 的失重峰(T_d)分为 3 个阶段。第一阶段是从室温升至 300°C , 可以观察到有 15% 的质量损失, 这是由于层内羟基基团的失去和物理吸附水的脱附造成的。这一阶段对应的是 DSC 曲线的吸热峰。第二阶段是从 300 至 500°C , 质量损失约为 3% , 这是由于如 DTG 中在 $345, 433$, 和 485°C 失去结晶水所造成的。在这一阶段, 可以在 DSC 曲线上观察到 348°C 的放热峰, 这对应于层状钛酸化合物向 TiO_2 (B)相的结构转变。这与在 400°C 的 XRD 所观察到的新相形成的结果一致。第三阶段是从 500 到 800°C , 其间质量损失为 0.3% , 这是由 DTG 所示在 528 和 565°C TiO_2 (B)失去剩余-OH 后形成锐钛矿 TiO_2 所致, 这与在 600°C 所形成的双晶结构相一致。TG/DTG/DSC 曲线与 XRD 的结果相吻合。

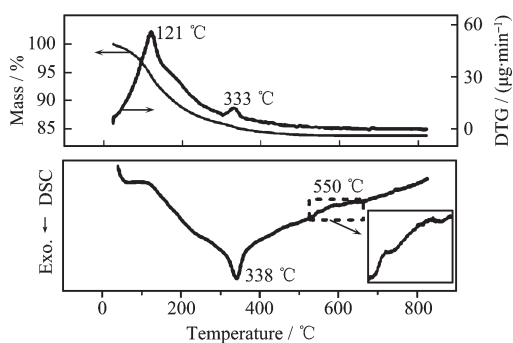


图 4 NR 的 TG/DTG/DSC 热分析谱图
(插入图局部放大图)

Fig.4 Thermal analysis (TG/DTG/DSC) curves of NR
at $10\text{ }^\circ\text{C}\cdot\text{min}^{-1}$ ramp (inset: amplified curve)

图 5a 中可以看出, 纳米带的长度约为 $1\text{ }\mu\text{m}$, 宽度为 $35\sim55\text{ nm}$ 。但是, 一些 NR 看上去比其它的显得更厚一些, 这是由于这些纳米带容易形成束

状。图 5b 显示了单根 NR 的高分辨 TEM 图, 可以看出, 其中心宽度约为 41 nm , 而边缘壳层约为 5 nm , 这可以通过较暗的内层与较亮的外层之间的对比来判断。通过此纳米带的垂直照片可判断其晶面间距为 $d_{200}=0.83\text{ nm}$ 和 $d_{004}=0.31\text{ nm}$ 。

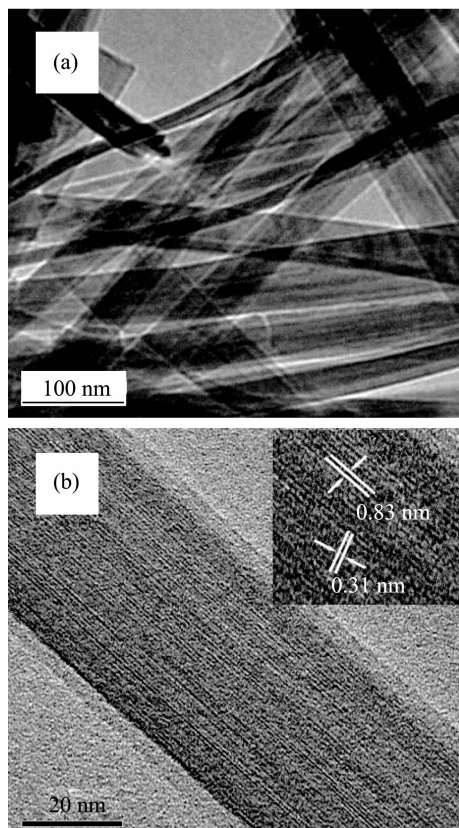


图 5 $\text{H}_2\text{Ti}_5\text{O}_{11}\cdot\text{H}_2\text{O}$ 纳米带的 TEM (a), HRTEM (b)

Fig.5 (a) TEM image of synthesized $\text{H}_2\text{Ti}_5\text{O}_{11}\cdot\text{H}_2\text{O}$ nanoribbons, (b) HRTEM image of $\text{H}_2\text{Ti}_5\text{O}_{11}\cdot\text{H}_2\text{O}$ nanoribbons

图 6(a)~(f) 为 $500, 600, 800^\circ\text{C}$ 焙烧 30 min 的 DNR 样品的形貌。当焙烧温度从增加至 500°C , 并未导致形貌的显著改变, 但能够通过本体黑色的 DNR 上的亮点观察到有很多纳米孔穴分布在纳米带上。图 6(d) 显示 DNR-600 上致密分布纳米孔穴的尺寸约 $2\sim15\text{ nm}$ 。这些失水层状纳米带的孔穴能通过 Han 等^[22]报道的反向-晶型生长的模型来解释。通过光还原的方法, 能够将 Pt 担载在纳米带的表面, 尺寸为 $2\sim5\text{ nm}$ 。

我们发现纳米孔穴的数量随着焙烧温度的提高而增多。当焙烧温度升高至 800°C 时, DNR 的表面变得光滑; 这种改变在纳米带的末端能够更清楚的观察到。通过测量晶格条纹(图 6(e)), 在 DNR-600 的

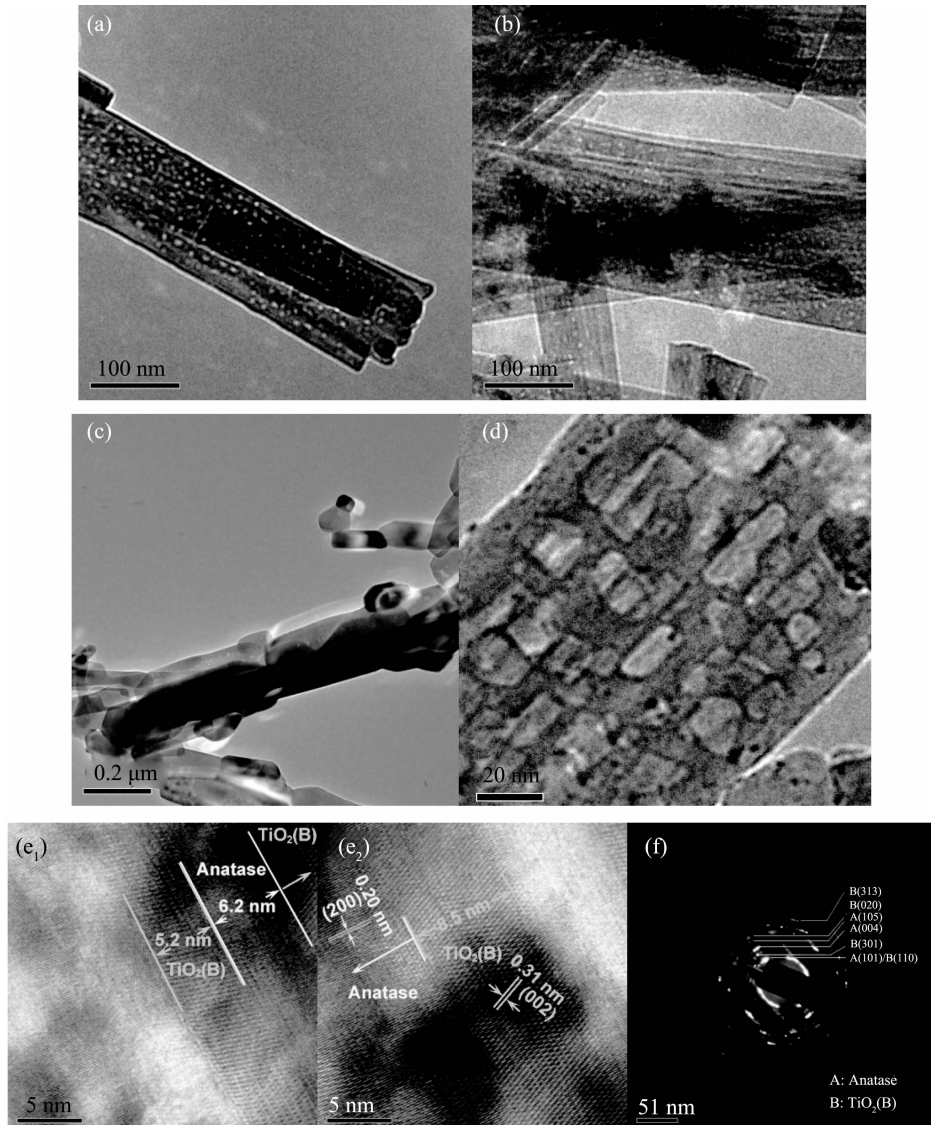


图 6 DNR-500 (a), DNR-600 (b), DNR-800 (c) 的 TEM 图; (e) 和 (f) 分别是 DNR-600 的 HRTEM 和 SAED 图
Fig.6 TEM images of DNR-500 (a), DNR-600 (b), DNR-800 (c); (e) and (f) are HRTEM images and SAED of DNR-600

HRTEM 上能够观察到两相的混晶结构, HRTEM 图为 DNR-600 的单根纳米带的两张图片, 这是由于拍摄过程中样品在高能电子轰击下的移动所造成的。DNR-600 上每种结构的宽度为 5~10 nm, 这小于 DNR-600 的单根纳米带宽度(20~50 nm)。清晰的边缘和晶型宽度的尺寸说明间隔结构是发生在单根 DNR-600 纳米带上。我们推测由于这种特殊的结构, 可进一步提高了 DNR-600 的电荷-空穴的分离效率, 从而使 DNR-600 获得了较高的光催化活性。本文还观察 DNR-600 的双晶相结构, 层间距约 0.31 nm, 与 TiO₂(B) 的 XRD 所测层间距一致; 而约 0.20 nm 与锐钛矿的层间距一致。HRTEM 给出了在 DNR-600 上直接的两相交接的证据, 这与 XRD 的结果是

一致的。单根 DNR-600 的选区电子衍射谱适于图 6 (f)。它给出了混晶结构的电子衍射图。晶格常数, d , 通过选区电子衍射花样用 $d = (\lambda \times L)/R$ 公式进行计算, 其中, λ 是电子波长 (0.0025 nm), L 是相机长度 (20 cm), R 是衍射样环的半径。此照片是通过 CCD 相机拍摄, R 值是通过标尺的倒数计算得到(单位: 1 nm)。其中, 所观察到的最强的衍射环是由于锐钛矿(101)晶面和 TiO₂(B)(110)晶面的衍射环叠加所致。

本文还通过紫外漫反射谱考察了 DNR 样品的光学性质。所有谱图均在短波长区(紫外区, $h\nu > 3.2$ eV)有明显的吸收。假设这些材料的吸收主要是非直接跃迁时, 它们的禁带宽度(E_g)能按照文献^[23]来估测。不同温度处理的样品的禁带宽度示于图 7。如

XRD 所示,不同温度焙烧导致晶型的改变,图 8 为随着晶型改变禁带宽度的变化趋势。从图可以看出 DNR 的禁带宽度随着焙烧温度从 500 ℃增加至 800 ℃,其值从 2.99 eV 逐渐增加至 3.16 eV,说明样品的结构改变对能带位置有着重要影响。在 500 ℃的热处理生成 $\text{TiO}_2(\text{B})$,其对应的 E_g 值最小。当在 600 ℃形成锐钛矿时, E_g 又增加至 3.00 eV。当焙烧温度为 800 ℃时,完全形成了锐钛矿 TiO_2 ,此时 E_g 为 3.16 eV 接近锐钛矿粉末状 TiO_2 的 3.2 eV。

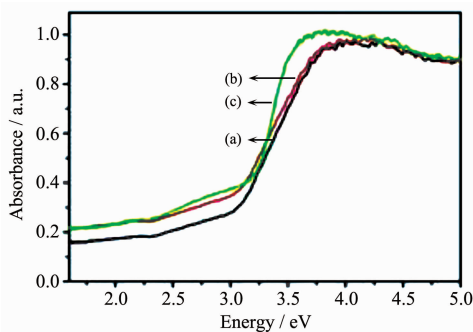


图 7 DNR-500 (a), DNR-600 (b), DNR-800 (c) 的 DRS 图

Fig.7 Diffuse-reflectance UV-Vis spectra of different samples, DNR-500 (a), DNR-600 (b), DNR-800 (c)

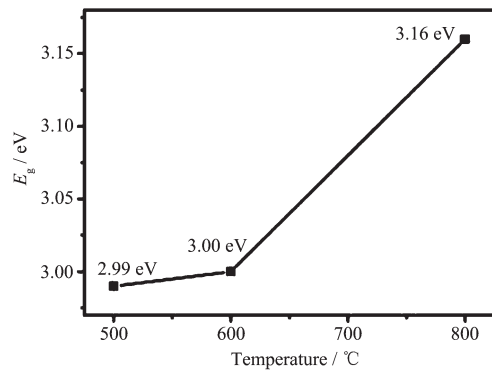


图 8 DNR-500 (a), DNR-600 (b), DNR-800 (c) 的 E_g 与焙烧温度关系图

Fig.8 E_g of DNR-500 (a), DNR-600 (b), DNR-800 (c) pretreated at different annealing temperatures

就光学性质而言,DNR-600 具有最高光活性的原因可解释如下:生成的 $\text{TiO}_2(\text{B})$ /锐钛矿双晶结构提高了电荷分离效率,从而导致光催化活性提高。与 DNR-500 和 DNR-800 相比,DNR-600 由于 $\text{TiO}_2(\text{B})$ 和锐钛矿之间比例显著的改变,从根本上提高了界面光致电荷传递效率而仅得到较高的光催化活性,更有利于光催化反应。

为了进一步证实以上光致电荷传递过程,我们研究了 Pt/DNR-600 的表面 TEM 图(图 9)。从图可以看出,Pt 颗粒主要沉积在锐钛矿表面,而在 $\text{TiO}_2(\text{B})$

表面上分布较少。这一结果显示激发态电子从 $\text{TiO}_2(\text{B})$ 的 CB 迁移至锐钛矿表面的捕获位。这种能带结构的能够解释 DNR-600 的优异的光致电荷分离效果,对于本实验而言,就是 DNR-600 催化下,甲烷产生速率更高。

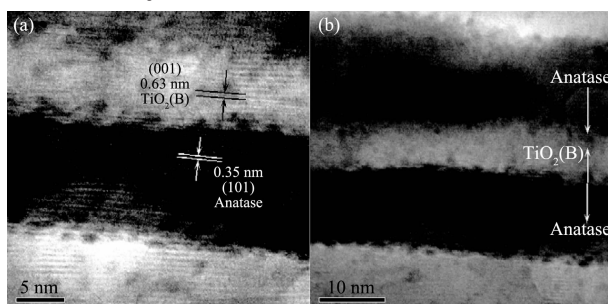


图 9 Pt 搅载在 DNR-600 的 TEM 图

Fig.9 TEM image of DNR-600 after Pt photodeposition

一般来讲,比表面积是半导体光催化活性的一个重要因素^[24]。但是,DNR 样品比表面积的差异(见表 1)对光活性差异的影响并不是太大。如果只考虑表面积影响,DNR-500 ($44 \text{ m}^2 \cdot \text{g}^{-1}$) 的催化性能比 DNR-600 ($35 \text{ m}^2 \cdot \text{g}^{-1}$) 具有优势。然而,事实并非如此。因为除了表面积影响之外,电子传递是决定光催化活性的又一重要因素。与 DNR-600 ($28 \text{ m}^2 \cdot \text{g}^{-1}$) 相比,DNR-500 有较高的比表面积,但是它的单晶结构限制了有效的电荷传递。因此,DNR-500 与 DNR-600 相比,具有较低的光催化活性。这些结果说明 DNR-600 优异的光催化活性主要归因于由间隔结构所致的较高电荷传递效率。

表 1 不同样品的性质比较

Table 1 Comparison of characteristics of different samples

Sample	XRD	BET / ($\text{m}^2 \cdot \text{g}^{-1}$)
DNR-500	B	44
DNR-600	B-A	35
DNR-800	A	14

B: $\text{TiO}_2(\text{B})$; A: Anatase.

3 结 论

通过选用比较 3 种不同催化剂催化 CO_2 加氢反应,研究了它们对甲烷产率的光催化活性行为。通过 XRD 和 TEM 考察了 DNR 的形貌和结构,通过 TG/DTG/DTA 分析了 DNR 的形成过程,并 DRS 得到了不同温度焙烧的 DNR 的光学特征。结果显示 DNR-600 具有较好的光催化活性,这可以通过两点原因来解释。一方面,DNR 上面形成的纳米孔穴

能够提高溶液中紫外区的光吸收能力。另一方面,TiO₂(B)和锐钛矿独特的双晶间隔结构提高了界面电荷分离的效率。BET 分析显示,催化剂的表面积并非不同的 DNR 的光催化活性差异的主要因素。另外,DNR-600 的稳定性仍需进一步改进。

参考文献:

- [1] Tadkiro F, Massahiro S. *Chem. Lett.*, **1994**(10):1877-1880
- [2] Kaspar J, Graziani M, Rahman A M. *Appl. Catal. A*, **1994**, **117**(2):125-13
- [3] CHEN Rong-Ti(陈荣悌), DENG Guo-Cai(邓国才), JIANG Qi(江 奇). *Chem. Res. Appl.(Huaxue Yanjiu Yu Yingyong)*, **1995**, **7**(1):1-7
- [4] Tomsetted A D, Hagiwara T, Miyamoto A, et al. *Appl. Catal.*, **1986**, **26**(1/2):391-394
- [5] Thampi K R, Kiwi J, Gratzel M. *Nature*, **1987**, **327**(6122):506-508
- [6] Vargese O K, Paulose M, LaTempa T J, et al. *Nano Lett.*, **2009**, **9**(2):731-737
- [7] Melsheimer J, Guo W, Ziegler D, et al. *Catal. Lett.*, **1991**, **11**(2):157-168
- [8] Roy S C, Varghese C K, Paulose M, et al. *ACS Nano*, **2010**, **4**(3):1259-1278
- [9] Armstrong A R, Armstrong G, Canales J, et al. *Adv. Mater.*, **2005**, **17**(7): 862-865
- [10] Armstrong A R, Armstrong G, Canales J, Bruce P G. *Angew. Chem. Int. Ed.*, **2004**, **43**(17):2286-2288
- [11] Zhu H Y, Zheng Z F, Gao X P, et al. *J. Am. Chem. Soc.*, **2006**, **128**(7):2373-2384
- [12] Pavasupree S, Suzuki Y, Yoshikawa S, Kawahata R. *J. Solid State Chem.*, **2005**, **178**(10):3110-3116
- [13] Zhu J F, Zhang J L, Chen F, et al. *Mater. Lett.*, **2005**, **59**(27):3378-3381
- [14] Kuo H L, Kuo C Y, Liu C H, et al. *Catal. Lett.*, **2007**, **113**(1/2):7-12
- [15] Inoue T, Fujishima A, Konishi S, et al. *Nature*, **1979**, **277**(5698):637-638
- [16] Adachi K, Ohta K, Mizuna T. *Sol. Energy*, **1994**, **53**(2):187-190
- [17] Sasirekha N, Basha S J S, Shanthi K. *Appl. Catal. B: Environ.*, **2006**, **62**(1/2):169-180
- [18] Koí K, Matěj K, Obalová L, et al. *Appl. Catal. B: Environ.*, **2010**, **96**(3/4):239-244
- [19] Li Q, Lu G. *J. Power Sources*, **2008**, **185**(1):577-583
- [20] Yang H G, Zeng H C. *J. Am. Chem. Soc.*, **2005**, **127**(1):270-278
- [21] Lin C H, Chao J H, Liu C H, et al. *Langmuir*, **2008**, **24**(17):9907-9915
- [22] Han W Q, Wu L, Klie R F, et al. *Adv. Mater.*, **2007**, **19**:2525-2529
- [23] Debeila M A, Raphulu M C, Mokoena E, et al. *Mater. Sci. Eng. A*, **2005**, **396**(1/2):70-76
- [24] Li Q, Lu G. *J. Mol. Catal. A: Chem.*, **2007**, **266**(1/2):75-79